

ИЗВЕСТИЯ

ТОМСКОГО ОРДЕНА ОКТЯБРЬСКОЙ РЕВОЛЮЦИИ И ОРДЕНА ТРУДОВОГО
КРАСНОГО ЗНАМЕНИ ПОЛИТЕХНИЧЕСКОГО ИНСТИТУТА ИМ. С. М. КИРОВА

Том 257

1973

ТЕРМОГРАФИЧЕСКИЙ АНАЛИЗ ОБРАЗОВАНИЯ $MgAl_2O_4$ СОСТАВА III-64

П. Г. Усов, В. И. Верещагин, В. А. Амелина

(Представлена научным семинаром неорганических кафедр ХТФ)

Реакция образования шпинели протекает с небольшим выделением тепла. Термодинамически протекание реакции считается возможным уже с 298°K [1]. Но тепловой эффект реакции образования шпинели очень незначителен ($\Delta H_{298} = -4,52$ ккал/моль), поэтому протекание реакции при данной температуре совершенно не обязательно.

Многими авторами начало реакции шпинели из окислов зафиксировано в интервале $700\text{--}800^{\circ}\text{C}$ [2-3]. Четко выраженного экзотермического эффекта не удается наблюдать, видимо, еще и потому, что процесс образования шпинели происходит в больших температурных границах.

Цель нашей работы состоит в том, чтобы изучить физико-химические процессы, происходящие при образовании шпинели из состава III-64 ($63,9\%$ Al_2O_3 + $36,1\%$ MgO) при нагревании смеси до температур $1040\text{--}1060^{\circ}\text{C}$ чистой и при введении некоторых добавок. Был использован метод дериватографии, включающий в себя снятие дифференциально-термических кривых (ДТА), кривых потерь веса (ТГ) и скорости потерь веса (ДТГ). Кривые снимались на венгерском дериватографе фирмы "Мом" со скоростью нагрева 10 град/мин. На рис. I представлена дериватограмма шихты III-64 без добавок.

На кривой ДТА зафиксирован ряд эндотермических эффектов при температурах 180°C , 300°C , 420°C , 770°C и небольшой эффект на 920°C . По кривым ДТГ и ТГ можно заключить, что все эндотермические эффекты связаны с процессами разложения. Сопоставление термических кривых чистой окиси магния (рис. 2) показывает, что все процессы, протекающие на дериватограмме шихты III-64, соответ-

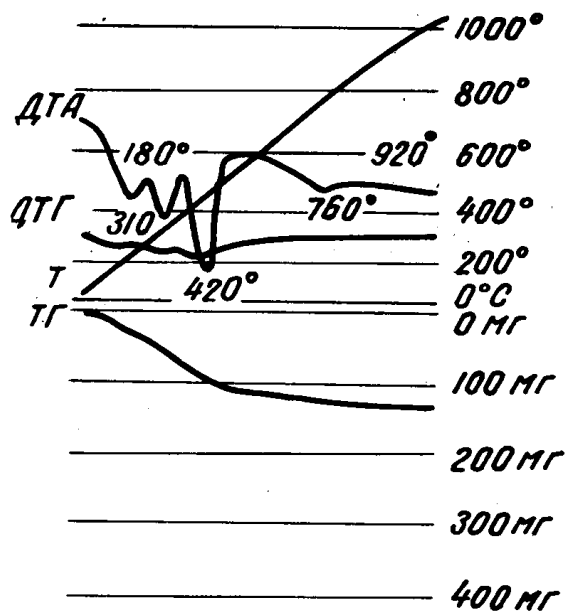


Рис. 1. Термограмма состава II-64.

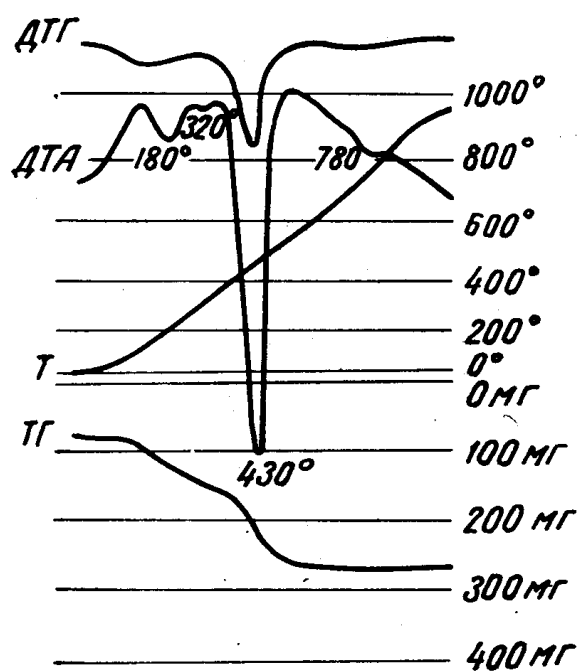
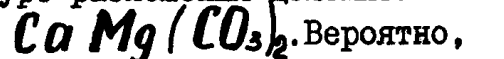


Рис. 2. Термограмма оксида магния осажденной.

вуют процессам, протекающим только в одном компоненте шихты — окиси магния. При 180°С происходит удаление адсорбированной воды, а при более высокой температуре — химически связанной.

Особый интерес представляет небольшой эндотермический эффект при 740–760°С, который соответствует температуре разложения доломита



. Вероятно, на воздухе происходит карбонизация окиси магния совместно с примесями кальция.

Очень небольшой повторяющийся экзоэффект при 920°С связан, по всей вероятности, со структурными изменениями в решете MgO , освобожденной от воды при переходе в периклаз.

Добавка 0,1% Y_2O_3 , введенная в виде водного раствора соли $\text{Y}(\text{NO}_3)_3$ (рис. 3), не меняет общего характера дериватограммы шихты II-64. Увеличился эндотермический эффект и потери веса при 420°С, что связано с образованием брусита

$\text{Mg}(\text{OH})_2$ при обработке шихты водным раствором [4]. Дегидратация брусита осуществляется в области 420°С [5]. Обращает на себя внимание незначительный экзотермический эффект при 800°С, который заметно увеличивается, если данную шихту предварительно спрессовать при удельном давлении

$P = 1500 \text{ кг}/\text{см}^2$ и приготовить

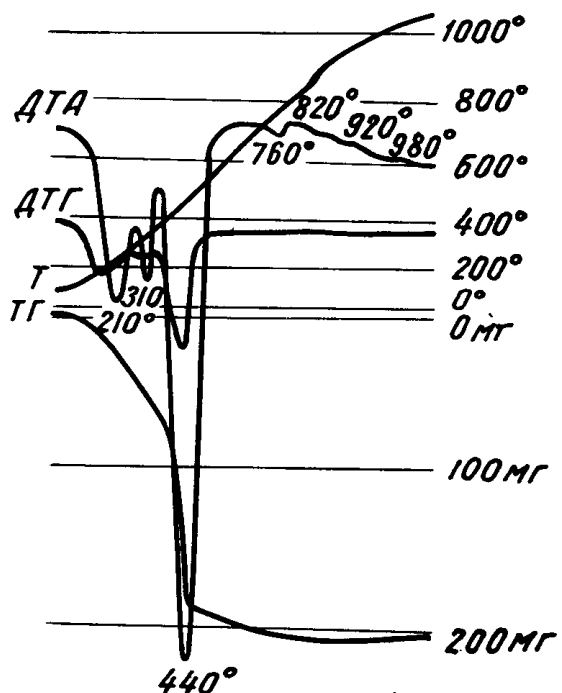


Рис. 3. Термограмма состава III-64 с добавкой 0.1%

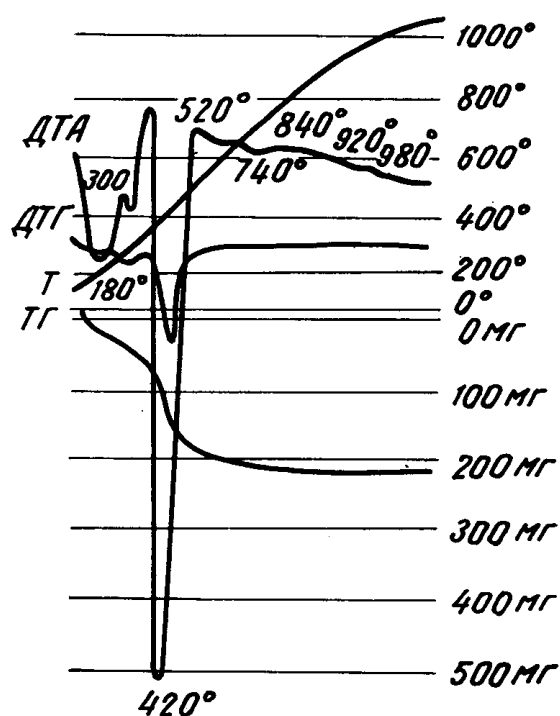


Рис. 4. Термограмма состава III-64 с добавкой 0.1% предварительным прессованием.

порошок с размерами частиц 0,2–0,5 мм (рис. 4). Появление нестабильного экзоэффекта при 530–540°C связано, по-видимому, с выгоранием органических примесей, внесенных при прессовании (масло).

Четкий экзотермический эффект на кривой ДТА с максимумом при 840°C, не связанный с потерями веса, появляется на дериватограмме шихты III-64 с добавкой 1% BeO (рис.5). Его можно отнести к реакции образования шпинели MgAl_2O_4 , причем величина не противоречит расчетной при данной температуре ($\Delta H_{1073} = -6,22$ ккал/моль). Появление и увеличение этого эффекта на кривых ДТА

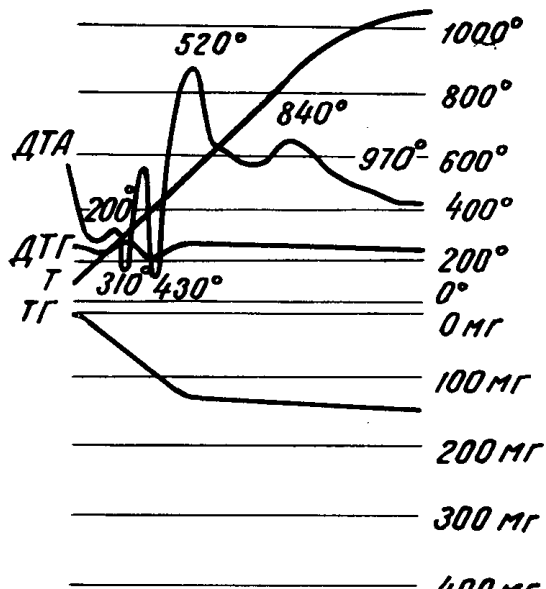


Рис. 5. Термограмма состава III-64 с добавкой 1 %.

Таблица I

Рентгеновские данные продуктов термического анализа (ДТА, ТГ дерива-
торфиль) до 1040°C лихти шинелевого состава III-64 с различными
микробавками.

	$d/n\text{\AA}$	γ	$d/n\text{\AA}$	γ	$d/n\text{\AA}$	γ	$d/n\text{\AA}$	γ	Эталонные			
									III-64 + 0,1% Y_2O_3 не гранулиро- вания	III-64 + 0,1% Y_2O_3 гранулированная	III-64 + 1% BeO гранулированная	шпинель ис- кусственная
I	2	3	4	5	6	7	8	9	II	II	II	II
0,8	-	-	-	0,5	5,01	0,4	5,03	-	-	-	-	-
0,8	4,600	2,1	4,622	2,4	4,600	2,4	4,622	3	4,65	-	-	-
-	-	-	-	-	-	0,5	4,396	-	-	-	-	-
0,4	4,191	0,4	4,001	0,5	3,901	-	-	-	-	-	-	-
1,3	3,466	1,3	3,453	0,9	3,427	0,3	3,453	-	-	-	-	-
1,0	2,831	3,2	2,831	3,2	2,844	3,8	2,831	6	2,825	-	-	-
0,5	2,690	-	-	0,5	2,675	-	-	-	-	-	-	-
2,5	2,535	2,2	2,528	1,5	2,528	0,5	2,535	-	-	-	-	-
4,0	2,417	10,0	2,417	10,0	2,417	10,0	2,417	9	2,406	9	2,431	-
2,6	2,378	-	-	-	-	-	-	-	-	-	-	-
-	-	-	-	-	-	-	-	-	-	-	-	-
10,0	2,094	0,4	2,161	0,3	2,186	0,3	2,320	1	2,301	-	-	-
2,3	2,006	6,6	2,008	8,0	2,089	4,9	2,222	-	-	-	-	2,108
1,3	1,734	1,1	1,734	0,8	1,731	0,3	1,728	-	-	-	-	-
0,4	1,037	0,9	1,637	1,1	1,639	1,3	1,637	6	1,628	-	-	-

	I	2	3	4	5	6	7	8	9	10	II	12
2,8	1,595	2,2	1,595	1,7	1,593	0,5	1,593	-	-	-	-	-
1,4	1,540	4,1	1,548	4,3	1,546	4,9	1,546	8	1,533	-	-	-
0,9	1,510	-	-	-	-	-	-	-	-	-	-	-
6,1	1,472	5,7	1,431	4,8	1,472	4,8	1,481	-	-	-	10	1,485
2,3	1,425	7,8	1,421	8,2	1,421	8,6	1,421	10	1,409	-	-	-
2,7	1,401	2,6	1,400	2,2	1,401	-	-	-	-	-	-	-
1,9	1,364	1,5	1,366	1,4	1,366	0,4	1,366	2	1,374	-	-	-
0,9	1,265	0,8	1,265	1,0	1,263	0,5	1,265	5	1,261	6	-	1,268
0,8	1,228	1,4	1,228	1,5	1,228	1,4	1,226	1	1,232	-	-	-
1,9	1,211	1,6	1,211	1,8	1,212	1,1	1,211	-	-	8	-	1,213

шихты III-64 связано с ускорением процесса синтеза реакции с момента начала реакции (800°C). при введении соответствующих добавок. В соответствии с таким объяснением эффекта при 820 - 840°C находятся данные рентгеновского анализа описываемых проб (табл.I). Это объясняется также тем, что в процессе термообработки до 1040 - 1060°C образцы несколько спекаются, а образование шпинели из окислов происходит с увеличением объема на 8%. Следовательно, чем ниже температура окончания синтеза шпинели, тем более спечена пробы к концу анализа (к 1040°C). Из табл. I видно, что увеличение шпинелевой фазы MgAl_2O_4 и уменьшение содержания $\text{d-Al}_2\text{O}_3$ в шихте состава III-64 с различными добавками находятся в той же последовательности, в которой рассмотрены соответствующие дериватограммы.

Л и т е р а т у р а

1. П.П.Будников, Ф.Г.Кербе, Г.М.Матвеев. Стеклообразные материалы. Рига, "Зиннатне", 1966.
2. G.F.Hütting, D.Zinker, H.Kittel. Z. Electrochem., 1934, 47, 36
3. W.Jander, H.Pfister. Z. Anorg. Chem., 1938, 239, 95.
4. Г.В.Самсонов и др. Физико-химические свойства окислов. Справочник. М., "Металлургия", 1969.
5. Л.Г.Берг, И.П.Бурмистрова и др. Практическое руководство по термографии. Изд-во Казанского университета, 1967.
6. П.П.Будников. Химия и технология окисных и силикатных материалов. Киев, "Наукова думка", 1970.